

УДК 5.77.32:5396.199

## ИССЛЕДОВАНИЕ КОНКУРЕНТНОГО СВЯЗЫВАНИЯ ДВУХ ЛИГАНДОВ: АКТИНОЦИНОВОГО АНТИБИОТИКА И КОФЕИНА С ДНК

Е.Б. Круглова<sup>1</sup>, Е.Л. Ермак<sup>2</sup><sup>1</sup>ИРЭ НАН України, ул Ак.Проскуры , 12, г. Харьков , 61085

e-mail:kruglova@ire.kharkov.ua

<sup>2</sup>Харьковский Национальный Университет им. В.Н. Каразина, г.Харьков, пл.Свободы, 4, 61077

Поступила в редакцию 12 мая 2003 г.

Спектрофотометрическим методом в видимой- и УФ-областих исследовано связывание актиноцинового антибиотика (ActIII) с ДНК в присутствии и в отсутствие кофеина в  $8 \times 10^{-2}$  М NaCl. Численный анализ концентрационных и температурных зависимостей спектров поглощения, проведенный с помощью программы оптимизации DALSMOD для двух моделей связывания, позволил получить константы и термодинамические параметры комплексообразования в системах ДНК - ActIII и ДНК-ActIII - кофеин. Показано, что в присутствии кофеина константы связывания для двух типов комплексов уменьшаются по сравнению с константами связывания ActIII с ДНК без кофеина. По модели конкурентного связывания была определена константа ассоциации кофеина с ДНК, которая составила величину порядка  $820 \text{ M}^{-1}$ . Вычисленные по методу Вант Гоффа значения величин  $\Delta H$  и  $\Delta S$  для разных типов комплексов в присутствии и в отсутствие кофеина различались, особенно существенно для второго типа комплекса и составили величины  $\Delta S_2 = -9.4 \text{ э.е.}$  для ДНК - ActIII и  $\Delta S_2 = +9.8 \text{ э.е.}$  для ДНК - ActIII - кофеин.

**КЛЮЧЕВЫЕ СЛОВА:** спектрофотометрия, ДНК, актиноциновые антибиотики, энтропия, энталпия связывания, кофеин, константы связывания.

Для эффективного лечения разных типов онкозаболеваний необходимо понимание механизмов действия противоопухолевых антибиотиков на молекулярном уровне. Требуют изучения также эффекты одновременного присутствия в организме человека нескольких биологически активных соединений, способных приводить к снижению терапевтической активности друг друга. К таким биологически активным веществам можно отнести и кофеин. Из литературных данных следует, что кофеин способен связываться с лекарственными препаратами, уменьшая их фармацевтическое действие [1,2,3]. Ранее было показано также, что кофеин понижает цитотоксический эффект ряда лигандов, таких, как доксорубицин, ЕВ, митоксанtron, эллифцин и аналог доксорубицина AD198 [2,4]. Вещества, активность которых снижает кофеин, как правило, являются интеркаляторами [1,2,3].

Механизм биологического действия кофеина можно объяснить его стэкингом с планарными полиароматическими молекулами - лигандами [3,5]. С другой стороны, снижение активности лекарственного препарата может быть связано не только с его непосредственным взаимодействием с кофеином, но и взаимодействием кофеина с различными клеточными компонентами, в том числе и с молекулой ДНК. В этом случае наблюдается конкурентное связывание двух лигандов с матрицей ДНК. В связи с этим представляет интерес изучение процессов комплексообразования разных антибиотиков с ДНК в присутствии кофеина. Целью данной работы являлось спектрофотометрическое изучение связывания кофеина с актиноциновыми антибиотиками, которые относятся к лекарственным препаратам ген-направленного действия [6], а также исследование влияния кофеина на термодинамические параметры их связывания с ДНК.

### МАТЕРИАЛЫ И МЕТОДЫ

Антибиотики актиноцинового ряда (ActII - ActV) с разной длиной метиленовых цепочек в боковых амидных группах были синтезированы Глибиным и др. [7] и использовались без дополнительной очистки. Структурные формулы актиноциновых антибиотиков приведены в работах [6,8]. При определении концентрации исследуемых антибиотиков использовали значение молярного коэффициента экстинкции в изобистической точке  $\epsilon_{400} = 1,6 \times 10^4 \text{ M}^{-1} \text{ см}^{-1}$  [9]. Спектрофотометрические измерения проводили в терmostатированных кварцевых кюветах с длиной оптического пути 1, 2 и 10 мм на спектрометре Specord M40 (Германия).

Константы димеризации антибиотиков и константы образования их ассоциатов с кофеином (CAF), а также молярные коэффициенты экстинкции мономерной ( $\epsilon_m$ ), димерной ( $\epsilon_d$ ) форм антибиотиков и комплексов Act-CAF, рассчитывались по оригинальной программе оптимизации DALSMOD, предложенной Хартли и др. [10]. Для анализа комплексообразования в системах ДНК-ActIII и ДНК-ActIII-кофеин мы использовали модели, детально описанные в работе [8], и программу оптимизации DALSMOD [11]. Модель I. Связывание антибиотика с ДНК происходит с образованием только мономерно связанных и

агрегированных лигандов. (Модель I описывается уравнениями (1) - (3), (5), (6) [8], константа комплексообразования кофеина с ДНК  $K_1 = 0$ ). Модель II. Связывание антибиотика с ДНК происходит с образованием двух типов комплексов (комплекса 1 и комплекса 2) на разных местах связывания  $n_2$  и  $n_3$  с константами связывания  $K_2$  и  $K_3$ , с учетом образования агрегатов на местах связывания  $n_2$ . (Модель II описывается уравнениями (1) - (6) [8], константа комплексообразования кофеина с ДНК  $K_1 = 0$ ).

Влияние кофеина учитывалось: 1) по изменению констант и термодинамических параметров комплексообразования ActIII с ДНК в присутствии кофеина по программе DALSMOD без учета связывания кофеина с ДНК; 2) по модели конкурентного связывания (оптимизируется константа комплексообразования кофеина с ДНК  $K_1$ ) без учета связывания ActIII с CAF и 3) с учетом взаимодействия ActIII с CAF. Во втором и третьем случаях величина места связывания кофеина с ДНК  $n_1$  была выбрана как  $n_1=1$ .

### РЕЗУЛЬТАТЫ И ОБСУЖДЕНИЕ

Актиноциновые антибиотики и кофеин в водных растворах могут образовывать как самоассоциаты, так и непосредственно взаимодействовать друг с другом, образуя гетероассоциаты. Это показано в работе [9] спектрофотометрическим методом на примере актиноцинового антибиотика ActII и в работах [6,12] методом ЯМР. На рис.1, а приведены экспериментальные спектры поглощения смесей ActIII-CAF, полученные при постоянной концентрации лиганда ( $C_D$ ) и переменных концентрациях кофеина. Из рисунка хорошо видно, что с ростом концентрации кофеина происходит длинноволновое смещение полосы антибиотика, которое можно объяснить образованием комплекса ActIII-CAF. Одновременно с увеличением количества комплекса ActIII-CAF происходит уменьшение концентрации как мономерных, так и димерных частиц антибиотика, что приводит к отсутствию изобистической точки на спектрах поглощения смесей. На рис.1, б приведены спектры поглощения мономерной формы ActIII и его комплекса с CAF, рассчитанные по программе оптимизации DALS с учетом двух химических уравнений:



В расчетах использовались молярные коэффициенты экстинкции для мономерной и димерной форм ActII - ActV, определенные ранее в работе [9]. Поскольку константа самоассоциации кофеина невелика [13], мы не учитывали образования его димерных частиц при расчетах равновесного состава смесей Act с CAF.

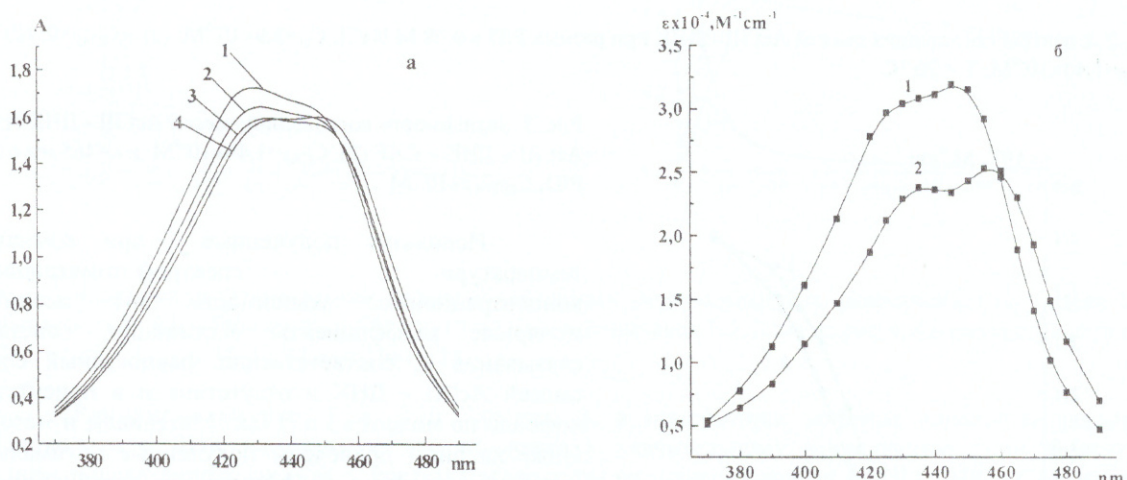


Рис. 1. Спектры поглощения смесей ActIII с CAF при постоянной концентрации антибиотика  $C_D=6,3 \times 10^{-5}$  M и  $C_{\text{CAF}} = 0$  M (1);  $C_{\text{CAF}} = 9,8 \times 10^{-4}$  M (2);  $C_{\text{CAF}} = 1,8 \times 10^{-3}$  M (3);  $C_{\text{CAF}} = 3,3 \times 10^{-3}$  M (4) (а). Оптимальные значения молярных коэффициентов экстинкции: 1- мономерной формы ActIII, 2 - комплекса ActIII-CAF (б).

В таблице 1 приведены значения констант ассоциации разных актиноциновых антибиотиков с CAF, полученные нами в данной работе, а также константа ассоциации акридинового оранжевого (АО) с CAF [3].

Таблица 1. Значения констант гетероассоциации актиноциновых антибиотиков с кофеином.

	ActII	ActIII	ActV	AO <sup>D)</sup>
C <sub>NaCl</sub> , M	0,08	0.06	0.08	0.15
K <sub>Act-CAF</sub> , M <sup>-1</sup>	337±17	352±42	331±11	256±5

1) Данные получены в работе [3].

Из таблицы 1 следует, что для всех рассмотренных лигандов значения констант гетероассоциации близки по величине. Это можно объяснить 1) одинаковым типом связывания кофеина с ароматическими кольцами лигандов и 2) тем, что длина метиленовой цепочки не влияет на связывание ActIII с кофеином.

На рис. 2. приведены спектры поглощения смесей ДНК-ActIII и ДНК-ActIII-CAF при разных концентрациях ДНК в 0,08M NaCl. Сравнивая их, можно отметить, что не существует ярко выраженных различий между спектрами поглощения смесей без кофеина и в его присутствии. Однако такие различия видны при сравнении концентрационных зависимостей поглощений смесей при одних и тех же значениях P/D, где P/D – отношение общей концентрации ДНК (в М фосфатов) к концентрации антибиотика (рис. 3).

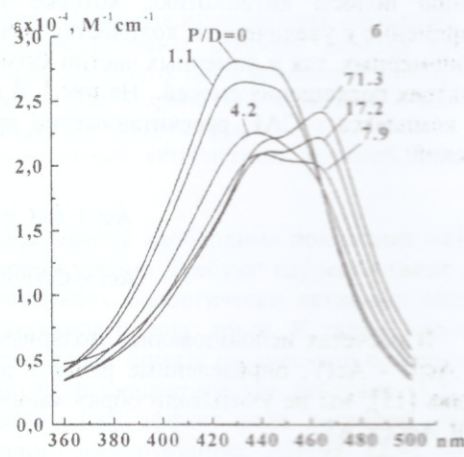
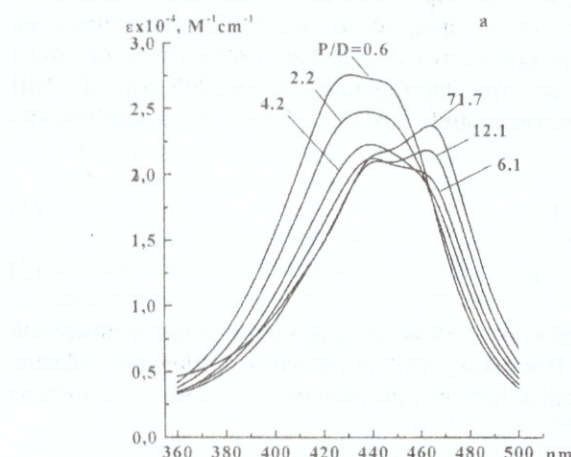


Рис. 2. Спектры поглощения смесей Act III - ДНК при разных P/D в 0,08 M NaCl; C<sub>D</sub>=2,9×10<sup>-5</sup>M; (а) – C<sub>CAF</sub>=0; (б) – C<sub>CAF</sub>=1,44×10<sup>-4</sup>M, T = 20 °C.

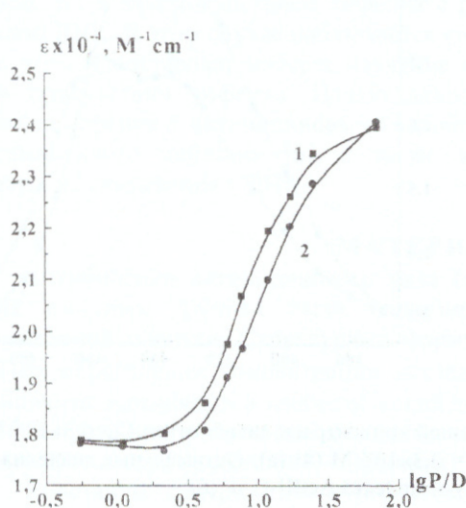


Рис. 3. Зависимости поглощений смесей Act III - ДНК (1) и Act III – ДНК – CAF (2), C<sub>CAF</sub>=1,44×10<sup>-4</sup>M в λ=465 нм от P/D; C<sub>D</sub>=2,9×10<sup>-5</sup>M.

Используя полученные при комнатной температуре спектрофотометрические концентрационные зависимости, мы рассчитали молярные коэффициенты экстинкции, константы связывания и, соответственно, равновесный состав смесей ActIII - ДНК в отсутствие и в присутствии кофеина по моделям I и II (см. Материалы и методы). Ниже на рис.4 приведены полученные оптимальные значения молярных коэффициентов экстинкции для разных типов комплексов в системе ActIII – ДНК - CAF, рассчитанных по программе DALSMOD для модели I (рис.4, а) и модели II (рис.4, б). А на рис.5 показано, как доля каждого типа комплексов меняется в зависимости от P/D. В таблице 2 приведены оптимальные значения констант

комплексообразования. Расчеты показали, что обе модели хорошо описывают наблюдаемые спектрофотометрические концентрационные зависимости. Это следует из сравнения величин факторов

## Исследование конкурентного связывания двух лигандов ...

Гамильтона R и  $R_{lim}$ , где  $R_{lim}$  – предельное значение фактора Гамильтона, рассчитываемое с учетом ошибок в измерении оптических плотностей и общих концентраций реагирующих компонентов[10].

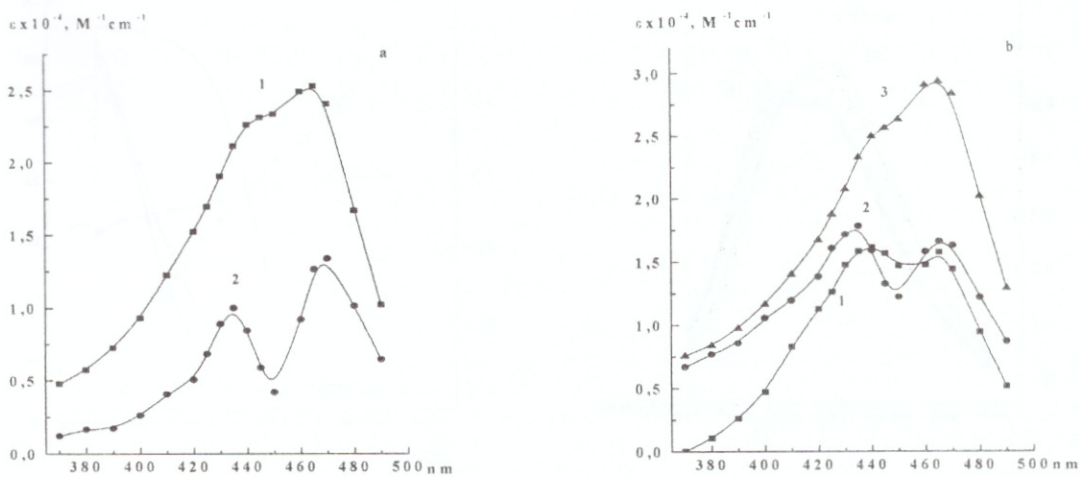


Рис. 4. Оптимальные значения молярных коэффициентов экстинкции для разных типов комплексов ActIII с ДНК, рассчитанные по модели I (а) и модели II (б) при  $C_{NaCl}=8 \times 10^{-2} M$ : 1-мономерно связанный лиганд, 2-агрегированный лиганд, 3-комплекс по второму типу связывания.

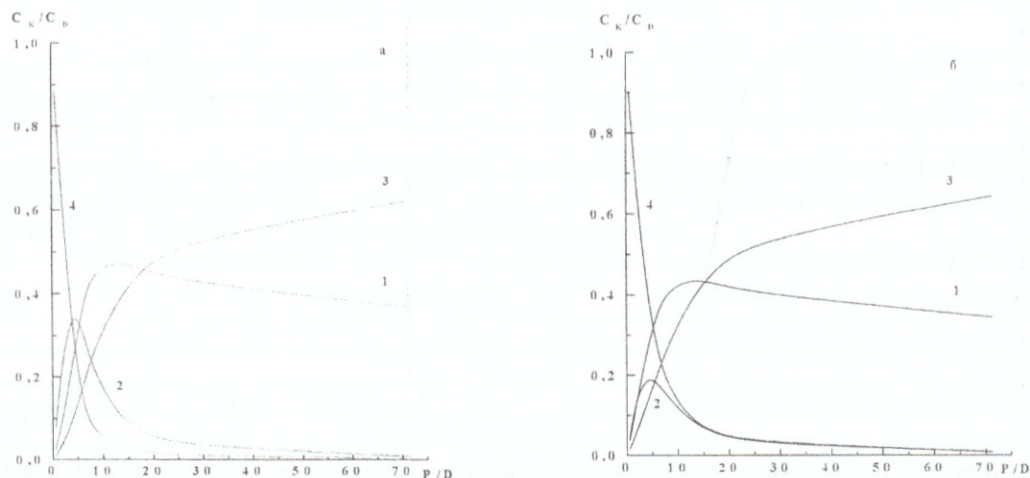


Рис. 5 . Зависимости относительных концентраций разных типов комплексов, рассчитанные по модели II при оптимальных  $K_2$  и  $K_3$  (Таблица 2) от P/D в  $8 \times 10^{-2} M$  NaCl (обозначения 1, 2, 3 как на рис. 4, 4 – свободный лиганд): (а) –  $C_{CAF}=0$ ; (б) –  $C_{CAF}=1.44 \times 10^{-4} M$ ,  $C_D=2.9 \times 10^{-5} M$ .

Как видно из рис. 5, а, б и Таблицы 2, в присутствии кофеина константы связывания антибиотика с ДНК изменяются, что приводит к значительному уменьшению доли агрегатов и мономерно связанного лиганда. С ростом температуры поглощения смесей ActIII - ДНК - CAF меняются как в видимой, так и в УФ области спектра (рис. 6, а, б). Подобные изменения в спектрах поглощения фиксируются нами и для смеси ActIII – ДНК без кофеина (данные не приведены). Из рис. 6, б следует, что антибиотик существенно увеличивает температуру плавления ДНК, температуры плавления смесей с кофеином и без него различаются незначительно.

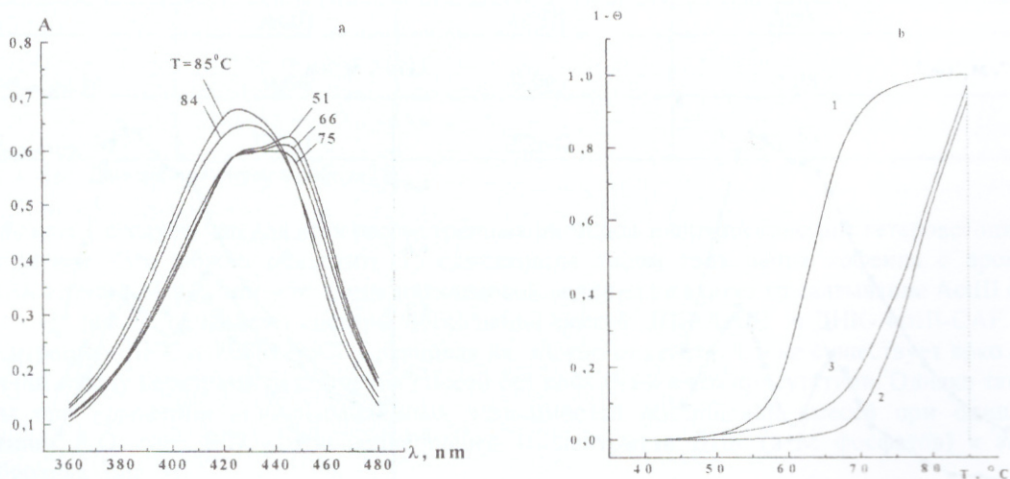


Рис.6. Спектры поглощения смеси ActIII – ДНК – CAF при разных температурах (приведены на рисунке) (а); ( $C_{\text{caf}}=1,44 \times 10^{-4}$  M;  $C_D=2,9 \times 10^{-5}$  M; P/D=25,5). Кривые плавления ДНК в отсутствии антибиотика (1), ДНК - ActIII при P/D=13 (2) и ДНК - ActIII-CAF при P/D=25,5;  $C_{\text{caf}}=1,44 \times 10^{-4}$  M (3), построенные по изменению поглощения смесей в  $\lambda=260$  нм в  $8 \times 10^{-2}$  M NaCl (б).

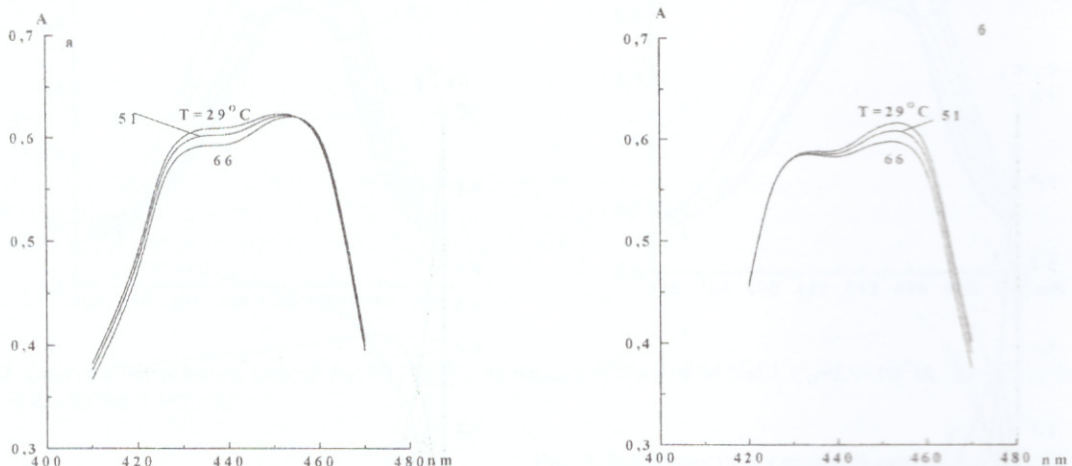


Рис.7. Спектры поглощения смеси ActIII-ДНК-CAF при разных температурах ( $C_{\text{caf}}=1,44 \cdot 10^{-4}$  M;  $C_D=2,9 \cdot 10^{-5}$  M; P/D=25,5), рассчитанные по модели I (а) и модели II (б).

Используя вычисленные по моделям I и II оптимальные величины констант связывания  $K_2$  и  $K_3$  для ActIII (см.таблицу 2) и молярные коэффициенты экстинкции, найденные нами в 0,08 M NaCl по моделям I и II, мы можем рассчитать, как величины этих констант меняются при повышении температуры. Для этого мы изначально фиксируем значения  $K_3$  и молярные коэффициенты экстинкции для всех типов комплексов, найденные при комнатной температуре, меняем  $K_2$  таким образом, чтобы сумма квадратов отклонений рассчитанного спектра экспериментального при каждой заданной температуре была минимальна. Найденные наилучшие значения  $K_2$  теперь фиксируем и находим оптимальное значение  $K_3$ . В расчетах учитывалось изменение константы димеризации ActIII от температуры, определенное ранее [9]. Найденные значения констант при разных температурах были использованы нами для расчетов спектров поглощений смесей ActIII-ДНК-CAF по двум моделям (рис.7, а, б). Видно, что модель I предполагает совершенно иной характер изменений поглощений смесей по сравнению с экспериментом (рис.6, а).

Полученные зависимости  $\lg K_2$  и  $\lg K_3$  от абсолютной обратной температуры приведены на рис.8, а, б. Видно, что эти зависимости линейны, следовательно, мы можем найти изменения энталпии и энтропии при связывании лиганда с ДНК на разных местах связывания по закону Вант Гоффа:

$$-RT \ln K = \Delta H - T\Delta S \quad (3)$$

## Исследование конкурентного связывания двух лигандов: ...

Полученные значения  $\Delta H$  и  $\Delta S$  приведены ниже в таблице 2.

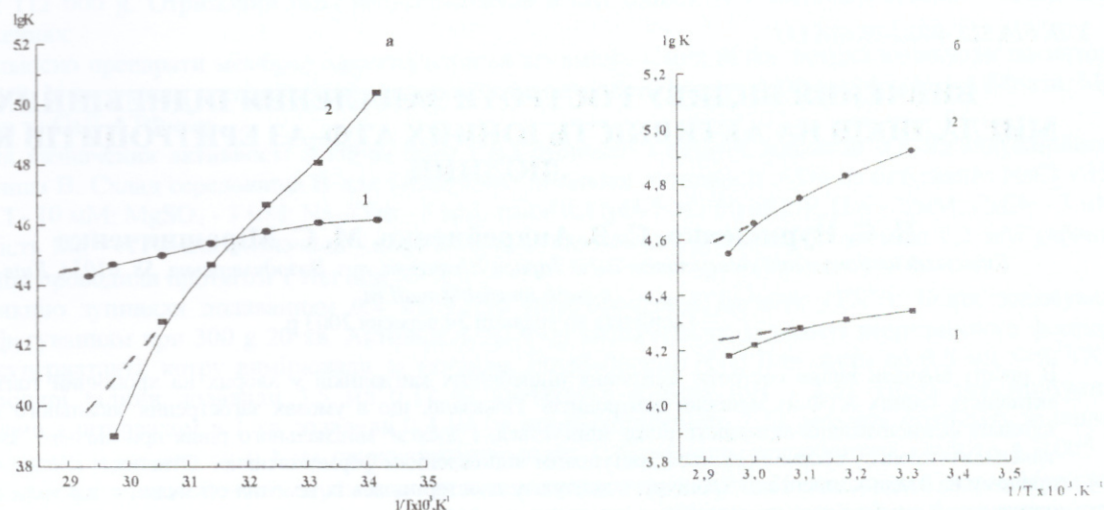


Рис.9. Зависимости логарифмов констант связывания  $K_2$ (1) и  $K_3$ (2) от абсолютной обратной температуры в растворе с концентрацией соли  $C_{NaCl} = 8 \times 10^{-2} M$ , рассчитанных по программе DALSMOD для модели II как описано выше.

Таблица 2. Значения термодинамических параметров связывания ActIII с ДНК для двух типов комплексов рассчитанных по программе DALSMOD для модели II при концентрации соли  $C_{NaCl} = 8 \times 10^{-2} M$ .

	$lg K_2$	$lg K_3$	$-\Delta G_2$ , ккал/М	$-\Delta G_3$ , ккал/М	$-\Delta H_2$ , ккал/М	$-\Delta H_3$ , ккал/М	$\Delta S_1$ , э.е.	$\Delta S_2$ , э.е.
ActIII - ДНК	4.67	5.02	6.36	6.84	1.15	9.62	+16.0	-9.4
ActIII-ДНК-CAF	4.36	4.95	5.90	6.74	1.77	3.83	+13.9	+9.8

Используя модель конкурентного связывания (оптимизация константы связывания кофеина с ДНК  $K_1$  в программе DALSMOD), была получена величина  $K_1 = 820 M^{-1}$  без учета связывания кофеина с антибиотиком и  $K_1 = 837 M^{-1}$  с учетом связывания кофеина с ActIII.

Таким образом можно заключить, что в экспериментах *in vitro* присутствие биологически активного лиганда кофеина может существенным образом влиять на процессы связывания актиноциновых антибиотиков с ДНК, причем именно за счет его взаимодействия с молекулой ДНК. Поскольку в присутствии кофеина обе константы связывания антибиотика с ДНК уменьшаются и термодинамические параметры изменяются как по первому, так и второму типам комплексов, можно предположить, что кофеин размещается в одной из бороздок ДНК, препятствуя оптимальному размещению молекул лиганда. Это следует также из уменьшения температуры плавления смесей в присутствии кофеина. Получаемая по модели конкурентного связывания константа связывания кофеина с ДНК невелика и, тем не менее, даже при концентрациях кофеина порядка  $1.5 \times 10^{-4} M$  существенно сказывается на процессах связывания актиноциновых антибиотиков с ДНК. Энтропия комплексообразования по второму типу связывания существенно возрастает, что свидетельствует о разупорядочении структуры комплекса антибиотика ActIII с ДНК.

### СПИСОК ЛИТЕРАТУРЫ

1. Kapuscinski J., Kimmel M. //Bioph.Chem.. 1993. 46. P. 153-163.
2. Traganos F., Karninska-Eddy B., Darzynkiewicz Z.//Cell Prolif. 1991. 24. P. 305-319.
3. Lyes M. B., Cameron I. L. //Bioph.Chem. 2002. 96. P. 53-76.
4. Traganos F., Kapuscinski J., Darzynkiewicz Z.//Cancer Res. 1991. 51. P. 3682-3689.
5. Sten H.J., Devore J.A., etc.//J.Phys.Chim. 1974. 78. P. 19-22.
6. Anticancer Drug Desing. Veselkov A.N., Davies D.B.: SEVNTU PRESS. 2002.
7. Глибин Е.Н., Овчинников Д.В., Плеханова Н.Г.// ЖОр.Х., Т.33. В.10. С 1573-1576.
8. Круглова Е.Б., Гладковская Н.А., Малеев В.Я. //Біофізичний вісник (в печати).
9. Круглова Е.Б. и др.//Біофізичний вісник. 2002. 1(10). С. 12-20.
10. Solution equilibria. Hartley F., Burgess C., Alcock R.: Ellis Horwood. 1980. 360 p.
11. Круглова Е.Б.//Біофізичний вісник. 2001. 1(8). С. 27-41
12. Davies D.B., Veselkov D.A., Djimant L.N., Veselkov A.N. // Eur.J.Biophys. 2001. V.30. P.354-366.
13. Kimura H., Ayoama T. J. Pharmacobiodyn. 1989. 12. P. 589